

## 슬라이딩 모드를 이용한 대규모 계통의 제어

진혁영, 박귀태, 곽근평\*, 김동식, 임형용  
고려대학교 공과대학 전기공학과

## The Control of Large Scale System by Sliding Mode

Chun Hee Young:Park Gwi Tae:Kuo Chun Ping\*:Kim Dong Sik  
Im Hyeong Yong  
Dept. of Electrical Eng. Korea Univ.

## ABSTRACT

This paper describes a new method for control of large-scale system by sliding mode. The concepts of control to large-scale system on the basis of VSS (Variable Structure System) control theory are used to decompose a large control problem into a two-level algorithm such that each subsystem is stabilized with local discontinuous controllers and higher level corrective control is designed to take into account the effect of interaction among the subsystems.

In this paper, we show that each subsystem is controlled with respect to local continuous and higher level corrective control. This algorithm can be easily applied to multi-variable control systems and obtained a continuous control in comparison with variable structure control systems. Two numerical examples are discussed as illustrations.

## 1. 서론

최근 몇 년 동안 가변구조계(Variabie Structure System: VSS) 이론에 근거하여 스칼라계를 끝 맨 아니라 다변수계통에 대해서 많은 연구가 수행되어 있다. (1)(2)

이 제어기법의 특징은 상태공간에서 스위치 페인(Switching Hyperplane)에서 계통의 구조를 변환시킴으로써 슬라이딩 모드(Sliding Mode)라는 독특한 형태를 얻어내는 것이다.

이 슬라이딩 모드에서 기본구조개의 동작은 소위상 페인을 결정하는 표면행렬이론의 의존이며, 계통의 파라미터 변동이나 외부에 대해서 기존의 영향을 받지 않으며 오-비교도없이 빠른 반응으로 대처된다. 또한 이 방법은 계통의 파라미터가 변환되는 전 변화를 외부요인이 없으며 단지 파라미터의 경계값이 있으면 되기 때문에 제어기의 설계가 매우 용이하다. (3)

최근에 인시 대규모 계통을 VSS 이론에 의해 개종제어하는 방법에 관한 연구가 이루어졌으나(4), 계통의 수렴특성이 좋지 못한 단점을 지니고 있고 또한 계통의 시수가 증강되는 맹는 소위상 이득을 구해야되는 어려움이 있다.

따라서, 본 논문에서는 이러한 단점을 제거하기 위해 기존의 기본구조개에 이론과는 달리, 연속적 제어입력을 위해 슬라이딩 모드를 발생시켜 대규모기동을 제어하는 새로운 알고리즘을 제시하고자 한다. 그리고, 이를 수식화에 적용하여 본 논문에서 제안한 알고리즘의 유 효성을 입증하고자 한다.

## 2. 기존의 기본구조개 이론(알고리즘 1)

다음과 같이 주어진 선형 시스템 대규모 계통을 생각하자.

$$\dot{X} = AX + BU \quad (1)$$

여기서  $X \in \mathbb{R}^n$ ,  $U \in \mathbb{R}^m$ 은 각각 상태와 입력변수이다.

단일 입력인 경우는 계통을 단일선형(5)으로 변환할 필요가 있으나, 다변수 계통인 경우는 계통에 VSS이론을 적용하려면 소위상 이득을 구하기 위해 계통을 단일선형으로 변환시켜야 한다.

(1)식과 같은 계통이 가제미(Controllable)하다고 가정하면 선형공간의 기저벡터(Basis Vector)를 다음과 같이 정의할 수 있다.

(2)식을 (1)식에 대입하여 정리하면 다음과 같다.

$$\dot{Z} = TZ \quad (2)$$

$$\dot{\tilde{Z}} = \tilde{A}\tilde{Z} + \tilde{B}U \quad (3)$$

여기서  $\tilde{A} = T^TAT$ ,  $\tilde{B} = T^TB$

행렬  $\tilde{A}$ 는  $m \times m$ 의 대각형행렬을 가지며 그 각각의 불록은 위상표준형이다.

행렬  $\tilde{B}$ 는  $m \times n$ 의 대각형행렬들을 가지며 아래한 불록들은 오직 첫째 요소들만 값을 갖는다.

식(3)은 다음과 같이  $m$ 개의 단일 입력을 갖는 계통으로 분해할 수 있다고 가정한다.

$$\dot{Z}_i = \tilde{A}_{ii}Z_i + \tilde{B}_{ii}U_i + \sum_{j \neq i} \tilde{A}_{ij}Z_j \quad (i=1, 2, \dots, m) \quad (4)$$

여기서  $Z_i \in \mathbb{R}^n$ 이고  $(\tilde{A}_{ii}, \tilde{B}_{ii})$ 는 기저마atri이다.

2층(Two-Level)설계 방법에 의해 각각의 부계통을 안정화시키는 부계통 리듬에서의 국부소위상 제어기 (Local Switching Controller)와 상호작용을 고려한 신위상제어기(Second Level Corrective Controller)를 구할 수 있다.

1번째 소위상 평면에 다음과 같이 수여한다고 하자.

$$S_i = C_i Z_i \quad (5)$$

여기서  $S_i$ 는 소위상 평면이고  $C_i$ 는 소위상 표면행렬이다.

슬라이딩 모드가 일어나기 위한 필요충분조건은 아래와 같다.

$$\lim_{\dot{s}_i \rightarrow 0} s_i \dot{\tilde{x}}_i < 0 \quad (6)$$

식(6)에 의해 불연속 제어입력  $u_i$ 는 아래와 같다.

$$u_i > - (C_i \tilde{B}_i)^{-1} C_i (\tilde{A}_i \tilde{x}_i + \sum_{j \neq i} \tilde{A}_{ij} \tilde{x}_j) \quad s_i < 0 \quad (7)$$

$$< - (C_i \tilde{B}_i)^{-1} C_i (\tilde{A}_i \tilde{x}_i + \sum_{j \neq i} \tilde{A}_{ij} \tilde{x}_j) \quad s_i > 0 \quad (7)$$

$u_i$ 는 다음과 같이 국부 제어입력  $u_{il}$ 과 소정 제어입력  $u_{ic}$ 로 분해할 수 있다.

$$u_i = u_{il} + u_{ic} \quad (8)$$

여기서

$$u_{il} > - (C_i \tilde{B}_i)^{-1} C_i \tilde{A}_i \tilde{x}_i \quad s_i < 0 \quad (9)$$

$$< - (C_i \tilde{B}_i)^{-1} C_i \tilde{A}_i \tilde{x}_i \quad s_i > 0 \quad (9)$$

$$u_{ic} > - (C_i \tilde{B}_i)^{-1} C_i \sum_{j \neq i} \tilde{A}_{ij} \tilde{x}_j \quad s_i < 0 \quad (10)$$

$$< - (C_i \tilde{B}_i)^{-1} C_i \sum_{j \neq i} \tilde{A}_{ij} \tilde{x}_j \quad s_i > 0 \quad (10)$$

## 2.1 국부제어기 (Local Controller)의 설계

식(9)에 대해 다음과 고려하면

$$u_{il} = -\psi_i \tilde{x}_i \quad (11)$$

스위칭 이동률  $\psi_i$ 는 다음과 같이 정해진다.

$$\psi_i = \begin{cases} \alpha_i & \tilde{x}_i s_i > 0 \\ \beta_i & \tilde{x}_i s_i < 0 \end{cases} \quad (12)$$

여기서

$$\alpha_i > (C_i \tilde{B}_i)^{-1} C_i \tilde{A}_i$$

$$\beta_i < (C_i \tilde{B}_i)^{-1} C_i \tilde{A}_i$$

## 2.2 소정기 (Corrective Controller)의 설계

(13)식과 같이 나타내야 하는 국부 스위칭 이동률  $\psi_i$ 는 (14)식과 같이 얻어진다.

$$u_{ic} = - \sum_{j \neq i} \phi_{ij} \tilde{x}_j \quad (13)$$

$$\phi_{ij} = \begin{cases} r_{ij} & \tilde{x}_j s_i > 0 \\ p_{ij} & \tilde{x}_j s_i < 0 \end{cases} \quad (14)$$

여기서

$$r_{ij} > (C_i \tilde{B}_i)^{-1} C_i \tilde{A}_{ij}$$

$$p_{ij} < (C_i \tilde{B}_i)^{-1} C_i \tilde{A}_{ij}$$

개체를 가변구조제어할 때 상세의 슬라이딩 모드를 Fig. 1에 나타내었다.

본 알고리즘에 대한 블록선도를 Fig. 2에 나타냈다.

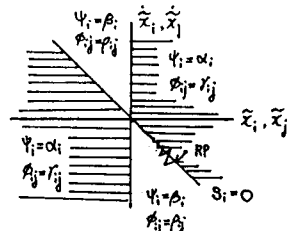


Fig. 1 Sliding Mode in a Large Scale System by VSS theory

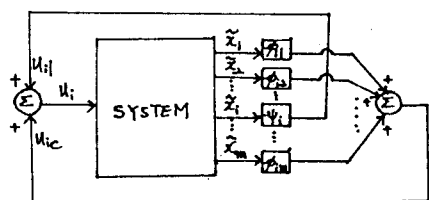


Fig. 2 Block Diagram of i-th Subsystem by VSS Control theory

3. 재인된 안속시 시제입력에 의한 대규모 계통의 세미(일고리즘 III)

식(1)과 같은 선형 시스템은 다변수계통에 대해 생각하자. (4)식의 양변에  $C_i$ 를 곱하면 다음과 같다.

$$C_i \tilde{x}_i = C_i \tilde{A}_i \tilde{x}_i + C_i \tilde{B}_i u_i; \quad u_i = \sum_{j=1}^m C_j \tilde{A}_{ij} \tilde{x}_j \quad i=1, 2, \dots, m \quad (15)$$

첫식을 제어입력  $u_i$ 에 대해 정리하면 다음과 같다.

$$u_i = -C_i \tilde{B}_i^{-1} (C_i \tilde{A}_i \tilde{x}_i + \sum_{j \neq i} C_j \tilde{A}_{ij} \tilde{x}_j - c_i \tilde{x}_i) \quad (16)$$

첫식에서  $\dot{S}_i = G_i \tilde{x}_i$  이므로 슬라이딩 모드 존재조건인 식(6)에 의해  $\dot{S}_i$ 와  $S_i$ 는 부호가 반대이고 미소양  $\alpha_i$ 를 양의 상수라 하면 형등적으로 다음과 같이 성립한다.

$$\dot{S}_i = \alpha_i S_i \quad (17)$$

윗 식을 식(16)에 대입하면 다음이 성립된다.

$$\begin{aligned} u_i &= - (C_i \tilde{B}_i)^{-1} (C_i \tilde{A}_i \tilde{x}_i + \sum_{j \neq i} C_j \tilde{A}_{ij} \tilde{x}_j + \alpha_i S_i) \\ &= K_i \tilde{x}_i + k_{ij} \tilde{x}_j + l_i S_i \\ &= u_{il} + L_i S_i \end{aligned} \quad (18)$$

여기서

$$K_i = - (C_i \tilde{B}_i)^{-1} C_i \tilde{A}_i$$

$$k_{ij} = - \sum_{j \neq i} (C_i \tilde{B}_i)^{-1} C_i \tilde{A}_{ij}$$

$$L_i = - (C_i \tilde{B}_i)^{-1} \alpha_i$$

## 슬라이딩 모드를 이용한 대규모 계통의 제어

원칙에서 나는 4-1에 대한 등가제어입력을 나타낸다. Fig. 3은  
연속제어입력에 의한 상태의 슬라이딩 모드를 나타낸다.  
본 알고리즘에 대한 불确定도를 Fig. 4에 나타내었다.

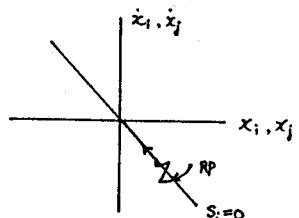


Fig. 3 Sliding Mode in a Large Scale System by Continuous Control

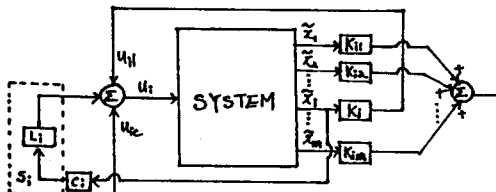


Fig. 4 Block Diagram of 1-th Subsystem by Sliding Mode

4. 주시제어법

4.1. 스클라 시스템

$$\begin{aligned}\dot{x}_1 &= \begin{bmatrix} 0 & 1 \\ -0.6 & -9.22 \end{bmatrix} x_1 + \begin{bmatrix} 0 & 0 \\ -33.32 & -11.3 \end{bmatrix} u_1 \\ \dot{x}_2 &= \begin{bmatrix} 0 & 1 \\ 1 & 0 \end{bmatrix} x_2 + \begin{bmatrix} 0 \\ 1 \end{bmatrix} u_2\end{aligned}$$

4.1.1. 알고리즘 I에 의한 제어

부기동 1, 2에 대해 슬라이딩 표면방정식  $C_1, C_2$ 를 선정하면 슬라이딩 평면  $S_1, S_2$ 는 다음과 같이 표현된다.

$$\begin{aligned}C_1 &= [10 \ 20], \quad S_1 = C_1 x_1 \\ C_2 &= [15 \ 30], \quad S_2 = C_2 x_2\end{aligned}$$

부기동 1, 2에 대해 상태변수  $X_1, X_2$ 를 다음과 같이 정의하면

$$\begin{aligned}X_1 &= [x_{11} \ x_{12}] \\ X_2 &= [x_{21} \ x_{22}]\end{aligned}$$

기반제어입력  $u_1, u_2$ 는 다음과 같이 구한다.

$$\begin{aligned}u_1 &= -[\Psi_{11} \ \Psi_{12}] x_1 - [\phi_{11} \ \phi_{12}] x_2 \\ u_2 &= -[\phi_{21} \ \phi_{22}] x_1 - [\Psi_{21} \ \Psi_{22}] x_2\end{aligned}$$

여기서 슬라이딩 이동은 다음과 같다.

$$\begin{array}{lll} \Psi_{11} > -0.6 & x_{11} s_1 > 0 & \Psi_{11} < -0.6 & x_{11} s_1 < 0 \\ \Psi_{12} > -8.72 & x_{12} s_1 > 0 & \Psi_{12} < -8.72 & x_{12} s_1 < 0 \\ \phi_{11} > -33.32 & x_{21} s_1 > 0 & \phi_{11} < -33.32 & x_{21} s_1 < 0 \\ \phi_{12} > -11.3 & x_{22} s_1 > 0 & \phi_{12} < -11.3 & x_{22} s_1 < 0 \\ \Psi_{21} > 1 & x_{11} s_2 > 0 & \Psi_{21} < 1 & x_{11} s_2 < 0 \\ \Psi_{22} > 0.5 & x_{12} s_2 > 0 & \Psi_{22} < 0.5 & x_{12} s_2 < 0 \\ \phi_{21} > 0 & x_{21} s_2 > 0 & \phi_{21} < 0 & x_{21} s_2 < 0 \\ \phi_{22} > 0 & x_{22} s_2 > 0 & \phi_{22} < 0 & x_{22} s_2 < 0 \end{array}$$

4.1.2. 알고리즘 II에 의한 제어

4.1.1에서와 같이 정의된 슬라이딩 평면에 의해 세워진 연속제어입력을 다음과 같이 주어진다.

$$U_1 = K_1 x_1 + K_{12} x_2 + L_1 s_1$$

$$U_2 = K_2 x_2 + K_{21} x_1 + L_2 s_2$$

여기서

$$K_1 = [0.6 \ 8.72]$$

$$K_2 = [-1 \ -0.5]$$

$$L_1 = [33.32 \ 11.3]$$

$$K_{12} = 0$$

$$L_2 = -1.25, \quad L_2 = -0.667$$

$$\alpha_1 = 25, \quad \alpha_2 = 20$$

이상의 수치를 이용하여 디지털 컴퓨터 시뮬레이션을 한 결과, 상태와 제어입력을 아래 그림에 나타내었다.

— : open loop  
--- : 알고리즘 I  
.... : 알고리즘 II

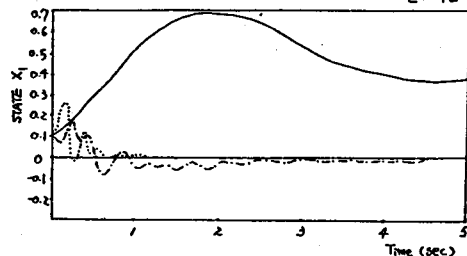


Fig. 5 State Trajectory of  $X_1$  by VSS Control

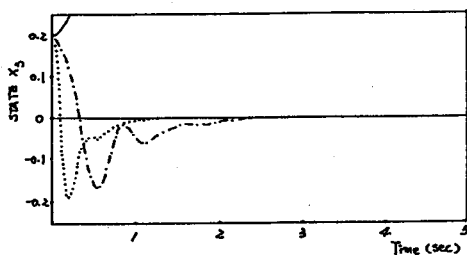


Fig. 6 State Trajectory of  $X_3$  by VSS Control

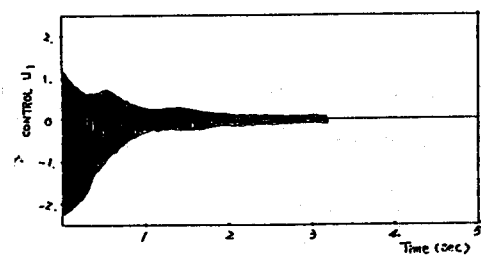
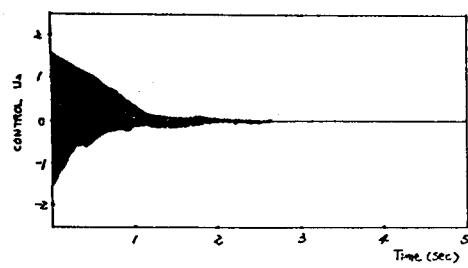
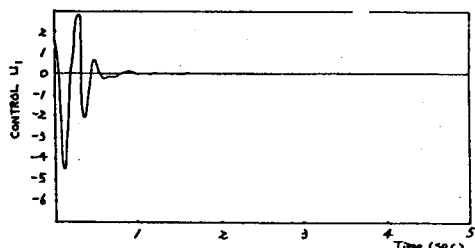
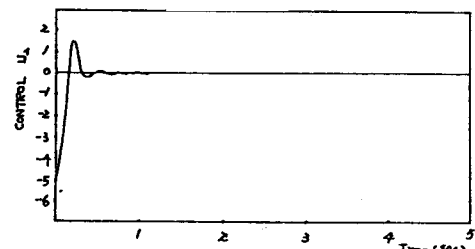


Fig. 7 Discontinuous Control Input  $U_1$  by VSS theory

Fig. 8 Discontinuous Control Input  $U_2$  by VSS theoryFig. 9 Continuous Control Input  $U_1$  by Sliding ModeFig. 10 Continuous Control Input  $U_2$  by Sliding Mode

본 계통은 고유치가  $-0.066, -9.154, 1, 1$ 인 불연속한 계통이다. Fig. 5~Fig. 6에서 나타냈듯이 일교리즘 I에 의한 연속지 제어입력을 계통을 제어한 경우 상대가 일교리즘 I의 경우보다 더 빠른 수렴특성을 나타낸다.

또한, Fig. 7, Fig. 8은 계통에 가변고조비율을 적용하였을 때의 불연속지 제어입력을 나타낸 것이고 Fig. 9, Fig. 10는 일교리즘 I에 의한 연속지 제어입력을 나타낸 것이다.

#### 4.2 미분수 계통

$$\dot{\tilde{x}} = \begin{bmatrix} 0 & 0 & 0 & 1 \\ 1 & 0 & 0 & 0 \\ 0 & 0 & 0 & 0 \\ 0 & 1 & 1 & 0 \end{bmatrix} \tilde{x} + \begin{bmatrix} 1 & 0 \\ 0 & 0 \\ -2 & 3 \\ 0 & 1 \end{bmatrix} u$$

위 계통을 선형공간의 기저변수를 적용하여 선형화면 임의로 변환하면 다음과 같다.

$$\dot{\tilde{x}} = \begin{bmatrix} 0 & -3 & 0 & 3 \\ 1 & 0 & 0 & 1 \\ 0 & -2 & 0 & 2 \\ 0 & 1 & 1 & 1 \end{bmatrix} \tilde{x} + \begin{bmatrix} 1 & 0 \\ 0 & 0 \\ 0 & 1 \\ 0 & 0 \end{bmatrix} u$$

여기서 변환행렬  $T$ 는 아래와 같다.

$$T = \begin{bmatrix} 1 & 0 & 0 & 1 \\ 0 & 1 & 0 & 0 \\ -2 & 0 & 3 & 0 \\ 0 & -2 & 1 & 3 \end{bmatrix}$$

#### 4.2.1 일교리즘 I에 의한 제어

부기행 1, 2에 대해서 솔리미팅 표면 행렬  $C_1, C_2$  다음과 같이 선정하면 스위칭 평면  $S_1, S_2$ 는 아래와 같이 나타난다.

$$C_1 = [10 \ 15], \quad S_1 = C_1 x_1 \\ C_2 = [15 \ 30], \quad S_2 = C_2 x_2$$

여기서 선형변수  $X_1, X_2$ 의 세泥土막  $\alpha_1, \alpha_2$ 는 4.1.1과 같이 정하여 스위칭 미uku값을 구하면 다음과 같다.

$$\begin{array}{llll} \psi_{11} > 2 & z_{11}s_1 > 0 & \psi_{11} < 2 & x_{11}s_1 < 0 \\ \psi_{12} > -3 & z_{12}s_1 > 0 & \psi_{12} < -3 & x_{12}s_1 < 0 \\ \phi_{11} > 0 & z_{21}s_1 > 0 & \phi_{11} < 0 & z_{21}s_1 < 0 \\ \phi_{12} > 5 & z_{22}s_1 > 0 & \phi_{12} < 5 & z_{22}s_1 < 0 \\ \psi_{21} > 2 & z_{11}s_2 > 0 & \psi_{21} < 2 & x_{11}s_2 < 0 \\ \psi_{22} > 2 & z_{21}s_2 > 0 & \psi_{22} < 2 & x_{21}s_2 < 0 \\ \phi_{21} > 0 & x_{11}s_2 > 0 & \phi_{21} < 0 & x_{11}s_2 < 0 \\ \phi_{22} > 0 & x_{21}s_2 > 0 & \phi_{22} < 0 & x_{21}s_2 < 0 \end{array}$$

#### 4.2.2 일교리즘 II에 의한 제어

4.2.1에서와 같이 정의된 스위칭 평면에 대해 4.1.2와 같이 연속지 제어입력을 정의하면  $K_1, K_2, K_{12}, K_{21}, L_1, L_2$ 는 다음과 같은 값을 가진다.

$$K_1 = [-2 \ 3]$$

$$K_2 = [-2 \ -2]$$

$$K_{12} = [0 \ -5]$$

$$K_{21} = 0$$

$$L_1 = -z.5, \quad L_2 = -1.667$$

$$\alpha_{11} = 5, \quad \alpha_{21} = 5$$

이상의 수치를 이용하여 디지털 컴퓨터 시뮬레이션을 한 결과, 상태와 제어입력을 아래 그림에 나타내었다.

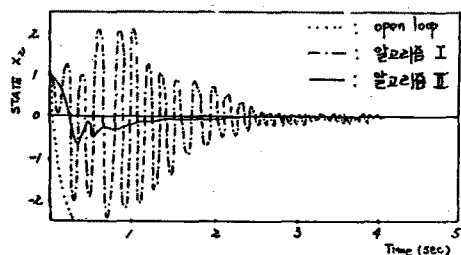


Fig. 11 State Trajectory of  $X_2$  by VSS theory

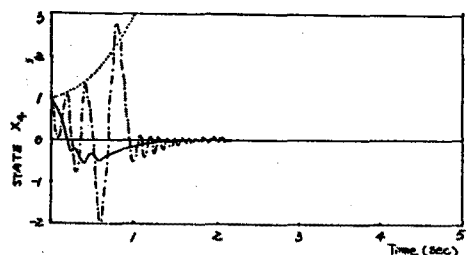


Fig. 12 State Trajectory of  $X_4$  by VSS theory

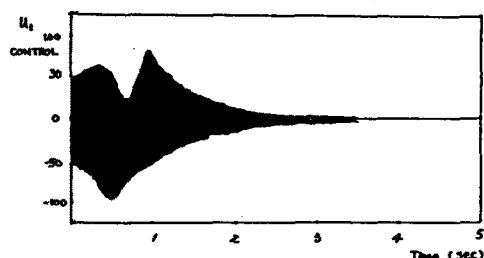


Fig. 13 Discontinuous Control Input  $U_1$  by VSS theory

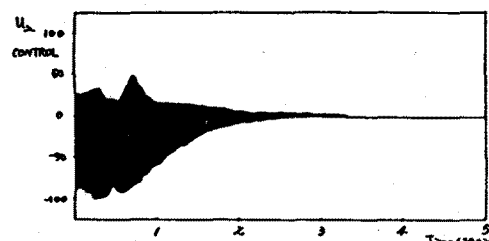


Fig. 14 Discontinuous Control Input  $U_2$  by VSS theory

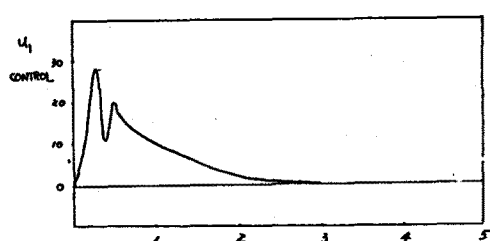


Fig. 15 Continuous Control Input  $U_1$  by Sliding Mode

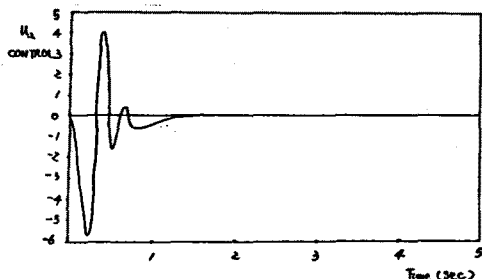


Fig. 16 Continuous Control Input  $U_2$  by Sliding Mode

본 개들은 고무지가  $-0.5 + j0.866, -0.5 - j0.866, 1.0$ 인 불안정한 개들은다.

Fig. 11~Fig. 12에서 나타냈듯이 다변수개들은 경우에도 불안속자 세미입력을 개통에 가하는 것보다 연속자 세미입력을 개통에 가하는 것이 상대적 수령복잡성이 더욱 좋다.

Fig. 13, Fig. 14는 기본점세미입을로 초기값은 불안속자 세미입력을 나타낸 것이다. Fig. 15, Fig. 16은 일정증단률을 다변수 개통에 적용하였을 때 각각의 부기동에서의 연속자 세미입력을 나타낸 것이다.

#### 5. 결론

슬라이딩 모드를 이용한 연속자 세미입장을 대량화 개통에 적용한 모드, 증대의 기반, 조정세미입을 위한 불안속자 세미입장을 비교하여 다음과 같은 결과를 얻었다.

(1) 본 모드에서 제작된 연관증단률에 의해 대량화 개통은 세미입증단률, 증대의 기반, 조정세미입을 사용했을 때 모두 대량화 수령복잡성이 얻었다.

(2) 개통의 차수가 증가할 때 세미입장을의 수위는 비례로 증가했다.

(3) 20번증단률은 세미입장을 단서 선개 인자(Design Factor)로는 변환시킬때 증대의 수령복잡성을 형성시킬 수 있다.

(4) 본 모드에서 세미입증단률을 다변수 개통에 적용할 경우 개통을 일정증단률로 변환하지 않아도 된다.

#### 6. 참고문

- 1) V. I. Utkin, "Variable Structure System: Present and Future," survey, *Automatica*, *Telemekhanika*, No. 9, pp5~25, 1983
- 2) K. K. D. Young, "Design of Variable Structure Model-Following Control System," *IEEE TRANS. AUTOMAT. CONTR.*, vol. AC-23, pp1079~1085, 1978
- 3) U. Itkis, "Control System of Variable Structure," New York: Wiley, 1976.
- 4) H. Khurana, S. I. Ahson, S. S. Lamba, "On Stabilization of Large-Scale Control Systems Using Variable Structure System Theory," *IEEE TRANS. AUTOMAT. CONTR.*, vol. AC-31, pp176~178
- 5) D. G. Luenberger, "Canonical Forms for Linear Multivariable Systems," *IEEE Trans. AUTOMAT. CONTR.*, vol. AC-12, 1 967